

‘Υποδεικνύομεν κατωτέρω ταχεῖαν μέθοδον ἐπιτρέπουσαν τὸν ὑπολογισμὸν τῶν στοιχείων τούτων.

Τὰ στοιχεῖα, τὰ δόποια ὁ κατασκευαστὴς ὑποδεικνύει συνήθως ὡς τυπικὰ εἶναι :

$V_B$  (συνεχῆς τάσις ἀνόδου).

$V_g$  (συνεχῆς ἀρνητικὴ τάσις πλέγματος).

$U_{g-MAX}$  (μεγίστη τιμὴ τοῦ δυναμικοῦ πλέγματος).

$I_A$  (συνεχῆς συνιστῶσα τοῦ παλμορεύματος ἀνόδου).

$I_g$  (» » » πλέγματος).

$W_g$  (ἰσχὺς διεγέρσεως πλέγματος).

$W_o$  (ἀφέλιμος ἰσχὺς ἔξοδου).

Διὰ τὸν καθορισμὸν τῶν χρησίμων στοιχείων ἐκμεταλλεύσεως τῆς λυχνίας ὑποδεικνύομεν τὴν κατωτέρω πορείαν ὑπολογισμοῦ.

1) ‘Υπολογίζομεν τὴν ἀπόδοσιν η ἐκ τῆς καταναλισκομένης ἰσχύος  $V_B I_A$  καὶ ἐκ τῆς ἀφελίμου  $W_o$  ἥτοι :  $\eta = \frac{W_o}{V_A I_A}$

2) ‘Υπολογίζομεν τὴν θετικὴν ἐναλλαγὴν πλέγματος.

$$U_g = U_{g-MAX} - V_g$$

Τὸ ὑπόλοιπον τάσεως  $V_D = V_B - U_A$  θεωροῦμεν ὅτι κυμαίνεται σταθερῶς περὶ τὰ 0,8 τῆς ἀνωτέρω τιμῆς  $U_g$ , ἥτοι :  $\frac{U_g}{V_d} = 0,8$

3) Εὑρίσκομεν ἥδη τὴν πρώτην ἀρμονικὴν  $J_A$  τοῦ παλμικοῦ φεύγματος ἀνόδου ἐκ τῆς σχέσεως.

$$J_A = \frac{2W_o}{V_B - V_D}$$

”Ηδη τὰ στοιχεῖα τοῦ κυκλώματος ἔξοδου παρέχονται κατὰ τὸν συντονισμὸν εἰς τὴν συχνότητα  $\omega$ . ὑπὸ τῆς σχέσεως

$$R_A = L_A \omega \cdot Q \text{ ἐν. } = \frac{U_A}{J_A}$$

4) ‘Υπολογίζομεν ἥδη τὰ στοιχεῖα τοῦ κυκλώματος εἰσόδου. ‘Η ἰσχὺς διεγέρσεως  $W_g$  εὑρίσκεται μεταξὺ τῶν δεδομένων. Ἀλλὰ τὸ γινόμενον  $U_{g-MAX}$ ,  $I_g$  ὑποδεικνύει τὴν συνολικῶς καταναλισκομένην ἰσχὺν εἰς τὸ κύκλωμα πλέγματος, ὁ δὲ λόγος  $\frac{V_g}{I_g}$  ὑποδεικνύει τὴν τιμὴν τῆς ἀντιστάσεως, ἡ δοπία προκαλεῖ τὴν κατάληξον πόλωσιν πλέγματος εἰς τὴν λυχνίαν. Τέλος τὸ γινόμενον  $V_g I_g$  δοῖται τὴν ἐπὶ τῆς ἀντιστάσεως πολώσεως ἰσχύν, ἐνῷ ἡ διαφορὰ  $U_{g-MAX} I_g - V_g I_g$  ἀντιπροσωπεύει τὴν ἰσχύν, ἥτις καταναλίσκεται εἰς τὸ πλέγμα. Τὰ στοιχεῖα τοῦ κυκλώ-

ματος εἰσόδου παρέχονται ύπο τῶν σχέσεων:  $R_g = U_g^2 \text{MAX} / 2Wg = L_g \omega_o Q$ , διότι  $C_g = 1/\omega_o^2 \cdot LQ$ .

Ἡ ἀνωτέρῳ πορείᾳ ὑπολογισμοῦ εὑρίσκει ἐφαρμογὴν γενικευομένη καὶ εἰς ὅλας τὰς περιπτώσεις εἰς τὰς ὁποίας ἔλλείπουν τὰ πλήρη δεδομένα τοῦ κατασκευαστοῦ.

Ὑποτεθείσθω ἐπὶ παραδείγματι ὅτι διὰ τὴν δοθεῖσαν λυχνίαν δὲν ὑπάρχουν ἄλλα στοιχεῖα πλὴν τῶν  $V_B = \tau_{\alpha}$  ἀνόδου καὶ τὸ  $W_o = \omega$  φέλιμος ἴσχὺς ἔξοδου μετὰ πλήρους σμήνους χαρακτηριστικῶν τῆς ἀνόδου. Ὁ ὑπολογισμὸς ἐν προκειμένῳ ἀκολουθεῖ τὴν κατατέρῳ πορείαν:

I. Δεχόμεθα ποσοστὸν ἀποδόσεως  $\eta$  (εἰς τᾶς Γ τοῦτο κυμαίνεται μεταξὺ 0,6 καὶ 0,8).

II. Ἀναλόγως τοῦ ποσοστοῦ ἀποδόσεως ὁρίζομεν ἀντιστοίχως τὸν λόγον  $\frac{U_A}{V_B}$  ὅστις θὰ εἴναι διὰ

$$\eta = 0,7, \quad \frac{U_A}{V_A} = 0,8$$

$$\eta = 0,75, \quad \frac{U_A}{V_B} = 0,85$$

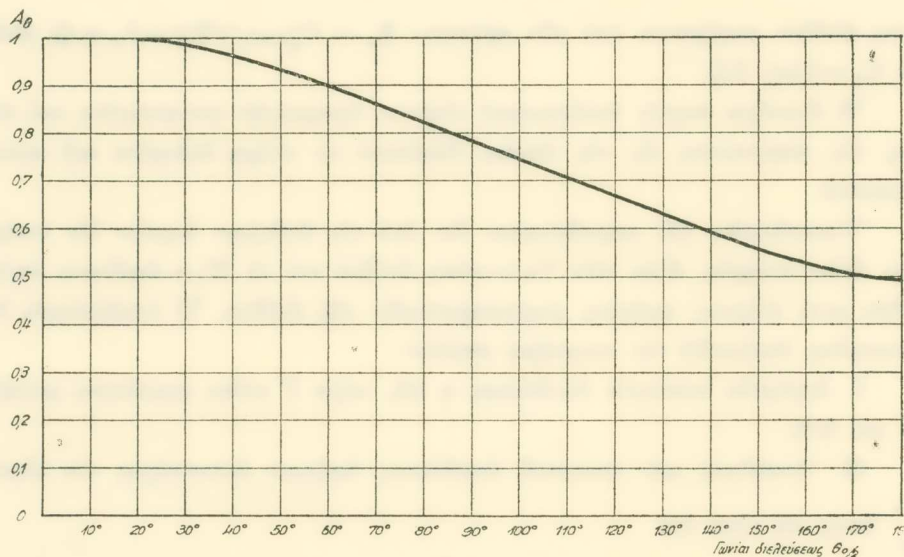
$$\eta = 0,8, \quad \frac{U_A}{V_B} = 0,9$$

Ἐκ τοῦ λόγου τούτου προδιορίζομεν τὸ  $U_A$  καὶ ἐξ αὐτοῦ τὸ  $V_D = V_B - U_A$ . Τέλος ἐκ τοῦ  $V_D$  προσδιορίζομεν τὸ  $U_g$  ἐκ τῆς σχέσεως  $\frac{U_g}{V_D} = 0,8$ . Κατέχοντες τὸ  $U_g$  καὶ  $V_D$  προσδιορίζομεν ἐπὶ τοῦ σμήνους χαρακτηριστικῶν ἀνόδου καὶ τὸ ὀλικὸν ἡλεκτρονικὸν οεῦμα  $I_s$ .

III. Χρησιμοποιοῦμεν ἥδη τὴν γενικὴν σχέσιν  $\eta = A\theta \cdot \frac{U_A}{V_B}$  προσδιορίζοντες οὕτω τὴν  $A\theta$  ἥτοι τὴν  $A\theta = \frac{\Theta_o - \eta\mu\Theta_o \sin\Theta_o}{2(\eta\mu\Theta_o - \Theta_o \sin\Theta_o)}$  ἐνθα  $\Theta_o$  τὸ ἥμισυ τῆς γωνίας διελεύσεως. Ἐπιλύοντες τὴν σχέσιν ταύτην ἡ χρησιμοποιοῦντες τὴν καμπύλην τοῦ σχ. 1 προσδιορίζομεν ἐκ τῆς  $A\theta$  τὴν γωνίαν  $\Theta_o$ .

IV. Κατέχομεν ἥδη ὅλα τὰ στοιχεῖα διὰ τὸν ὑπολογισμὸν τῆς καταλλήλου συνεχοῦς ἀρνητικῆς πολώσεως  $-V_g$ . Πρόγιατι ἡ πόλωσις αὗτη δίδεται ὑπὸ τῆς σχέσεως  $-V_g = \frac{V_B}{\mu} + (U_g + \frac{V_D}{\mu}) \cdot \frac{\sin\Theta_o}{1 - \sin\Theta_o}$ . ἐνθα μὲν δὲ συντελεστὴς ἐνισχύσεως τῆς λυχνίας.

Προσδιορίζομεν ἥδη τὴν συνεχῆ συνιστῶσαν  $I_A$  καὶ τὴν πρώτην ἀρμο-



νικήν  $J_A$  τοῦ παλμικοῦ φεύγατος ἀνόδου. Ἡ καταναλισκομένη ἴσχυς  $W_K = W_o V_B I_A = \frac{V_B}{V_B} I_A$  μᾶς ὑποδεικνύει τὸ  $I_A$ , ὁ δὲ λόγος  $\frac{J_A}{I_A} = 2A$ . μᾶς ἐπιτρέπει τὸν προσδιορισμὸν τοῦ  $J_A$ .

VI. Τὰ στοιχεῖα τοῦ κυκλώματος ἔξόδου ὑπολογίζονται τῇ βοηθείᾳ τῆς ἀντιστάσεως φόρτου  $R_A$  ἵτοι  $R_A = \frac{V_B - V_D}{J_A} = L_A \omega_o Q_{\text{εξ}}$ , ἐνῷ  $L_A C_A \omega_o^2 = I$ .

VII. Ἀναζητοῦμεν ἡδη τὰ στοιχεῖα τοῦ κυκλώματος εἰσόδου. Τὸ μέγιστον παλμικὸν φεύγατος  $I_{g\text{MAX}}$  δεχόμεθα ὅτι ἀντιπροσωπεύει τὸ 0,2 ὥς 0,25 τοῦ ἡλεκτρονικοῦ φεύγατος  $I_S$ . Γενικῶς  $I_{g\text{MAX}} = 0,2 I_S$ . Δεχόμενοι δι τὸ παλμὶο φεύγατος εἶναι ἡμικυκλικὸς ἔχομεν ὅτι τὸ μέγιστον πλάτος τοῦ παλμοφεύγατος πλέγματος, θὰ ἴσοιται πρὸς  $I_g = I_{g\text{MAX}}$ . Ἡ γωνία διελεύσεως  $\Theta_g$  πλέγματος, προσδιορίζεται ἐκ τῆς σχέσεως συν  $\frac{\Theta_g}{2} = \frac{V_g}{U_{g\text{MAX}}}$

VIII. Ἡ δὲ ἴσχυς διεγέρσεως θὰ ἴσοιται κατὰ ταῦτα πρὸς  $W_g = (V_g + U_g) J_g / 2$ . Ἡ ἀντίστασις πολώσεως  $R_g$  ὑπολογίζεται ἐκ τῆς σχέσεως  $R_g = \frac{V_g}{I_g}$  τὰ δὲ στοιχεῖα τοῦ κυκλώματος εἰσόδου ὑπολογίζονται ἐκ τῶν σχέσεων  $U_{g\text{MAX}}^2 = R_g 2 W_g$  καὶ  $L_g C_g \omega_o^2 = I$ .

Ἡ ἀνωτέρῳ μέθοδος ὑπολογισμοῦ συγκρινομένη πρὸς τὰς ἐν χρήσει δὲν ὑστερεῖ εἰς προσέγγισιν ὑπερτερεῖ δὲ κατὰ τὴν ἀπλότητα.